

九州大学工学部 正員 山内豊聰
 西日本工業大学 同 安原一哉
 西日本工業大学 同 ○平尾和年

1. まえがき 最近、軟弱地盤上における道路は、路盤底面のめり込み量の減少、沿道利用の便、工費の節減などにより低盛土道路が築造されるようになった。しかし、このような低盛土道路では盛土および軟弱路床土に対する交通荷重（繰返し荷重）による沈下が大きいと言われてあり、ある低盛土道路の異常沈下例も筆者らによって報告されている。このような低盛土道路の沈下を抑制するため、国道34号バイパスにおいて軟弱地盤に石灰処理局（拘束局）を設けた試験盛土を施工し、その効果を判定するため自動車（積載時15t）走行試験が実施された。この報文は、試験盛土の沈下計算に繰返し三軸圧縮試験結果を適用し、走行試験による実測沈下量と比較検討したものである。本報告が従来のものと異なるのは、従来は交通荷重による沈下は一次元的に起ると仮定したのに對し、今回は三次元的変形条件を仮定している点である。²⁾

2. 交通荷重による軟弱地盤の沈下に関する現地試験

走行試験を実施した試験盛土は、佐賀県江北町で、34号バイパスが建設予定されている地處である。この、江北町一帯は有明粘土と呼称される軟弱粘土が厚く（約10m）堆積している。試験盛土下面には、沈下に対する効果を知るために石灰処理局が設けられている。盛土断面は図-1に示すように石灰処理局を有するA工区、処理局がなくネットロン・シート敷設のD工区他、6種の断面である。走行試験は、載荷時重量15tのダンプトラックを延長400mの盛土区间を1往復約3分間（1日当たりの走行回数は平均500回、51年6月16日～51年9月29日の約3ヶ月）で、約3万回走行させたものである。盛土の沈下は地表面変位杭で計測を行い、これを通過回数に対し、各工区別にプロットしたものが図-2である。図-2の3万回走行時の沈下量に着目すると次のことが言える。

- i) 処理局のないネットロン・シート敷設のD工区は他の工区に比べ著しい沈下を示しており、処理局の抑制効果は顕著である。
- ii) 処理幅の変化による抑制効果は、B工区で若干認められるがA工区ではほとんど認められず処理幅は抑制効果に大きな影響は与えないと言える。
- iii) 処理厚さの効果はB工区がA工区の約5倍の沈下量を示しており、処理層の厚さによる沈下抑制効果は厚度にともない大きくなる。しかし、C工区のソイル・セメント局の効果はあきらかでない。

3. 繰返し三軸圧縮試験結果とその現地盤の沈下計算への適用

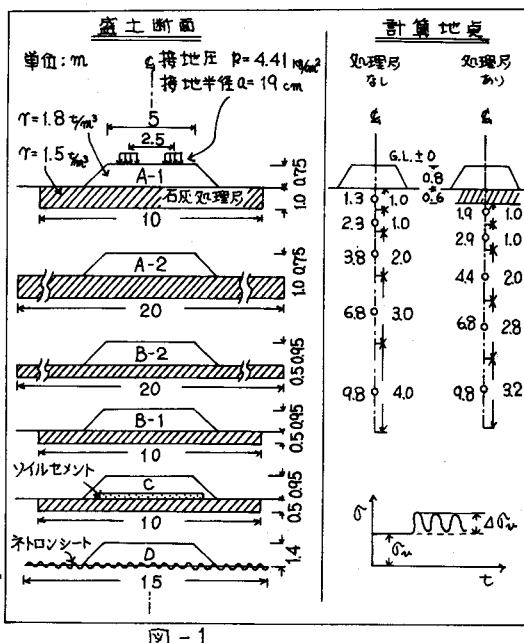


図-1

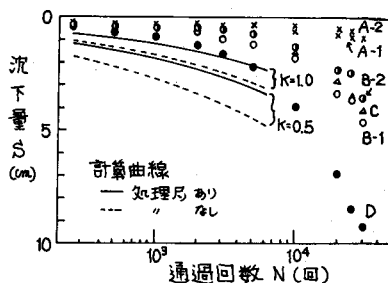


図-2 実測沈下量と計算沈下量

三軸圧縮試験機は電気制御の油圧・サーボ方式で、波形は正弦波、三角波、矩形波の三種、周波数は 0.1 c.p.s. ~ 10 c.p.s. まで可能である。供試体寸法は径 3.5 cm, 高さ 8.75 cm である。試料は現地からサンプリングしたものを使用した。成形した供試体は、採取深さの土被り応力で 24 時間等方圧密した後、図-1 に示す輪荷重による増加応力を繰返し荷重として 50 万回まで負荷した。各深度における試験条件は表-1 に示す。試験結果を軸ヒズミ E_1 (%) と応力比 σ/σ_0 で整理すると図-3 のようになる。図中の数字は繰返し回数である。この結果を利用した低盛土の沈下計算方法は次の通りである。i) 現地盤を図-1 に示したように処理厚のある場合とない場合に分け、それを各々に分離しておく。ii) 各厚中心における応力比を求め図-3 より各厚の軸ヒズミ E_{1L} (%) を読み取り、載荷回数の対数を横軸として図-3 を書き改めると図-4 のようになる。iii) この図-4 から任意の載荷回数に対応する各厚の軸ヒズミ E_{1L} (%) が読み取れ、 $\Sigma E_{1L} = E_{1L} \times h_i$ (h_i : 厚) により載荷回数に対する全沈下量が求められる。静止土圧係数 $K_0 = 0.5, 1.0$ として計算した沈下量と実測沈下量は図-2 に示す。走行試験と実験では周期は同一ではないか、時間を統一してプロットした。この図-2 から以下のことが言える。沈下曲線の形状については 6000 回以内においては類似していると言えるが、大きな回数ではあきらかでない。しかし、形状から判断すれば沈下量は増大してゆくと見取れる。また、静止土圧係数 K_0 は 0.5 とするよりも 1.0 とした方がより実測値に近似するようである。

計算曲線と実測沈下量の相違については、走行試験は午前 8 時～午後 5 時の間行われており次の載荷が始まるまで 15 時間無載荷の状態にあり、シキソトロピーによる変形回復の余地があるためと考えられる。さらに、走行間隔は 1 往復約 3 分、通過回数当たり 90 秒であり、交通量の増大とともに自動車の走行間隔は短くなることが予想され、実際の道路ではこの走行試験結果よりも沈下が 10 倍ものと思われる。

4. あとがき 低盛土上の走行試験から得られた実測沈下量と、路床土を構成する軟弱粘土の繰返し三軸試験結果を比較検討した結果、沈下形状としては良く類似しているが計算沈下量は実測値よりも大きくなる結果となった。この相違は室内試験と現地試験との間の試験条件の相違に起因するところが大きいと考えられ、室内試験においては、載荷周期を現地に合わせて長くする、載荷回数を十分大きい所まで実施するなどの方法によるものと詳細に試験結果の適用性を議論することができるものと考えられる。また、このような低盛土道路の沈下の抑制の方法として、石灰処理厚を設けることが効果的であることも確かめられた。付記：佐賀 34 号バイパスにおける現地試験は建設省佐賀国道工事事務所および日本地研（株）によるものであることを付記する。

引用文献 1) Yamanouchi, T. and K. Yasuhara (1975); Behaviour of Soft Clay Under Repeated Loading and Its Applications to Field Problems, Proc. Soils Symp. Univ. of N.S.W., pp. 337 ~ 351 2) 山内・守原・平尾 (1976); 繰返し荷重をうける飽和粘土の変形特性、第 31 回土木学会年次講演会概要集、第 III 部、pp. 179 ~ 180

表-1 試験条件

No.	採取深度 z (m)	圧密荷重 G_v (kN/cm ²)	繰返し荷重 $4G_v$ (kN/cm ²)
1	1.9	0.30	0.21
2	2.9	0.36	0.20
3	5.9	0.41	0.07
4	10.4	0.57	0.03

周波数 1 c.p.s.	正弦波
波形	50 万回
載荷回数	排水条件
排水	
$G_s = 2.64$	
$w = 90 \sim 150 (\%)$	
$w_L = 113 (\%)$	
$I_p = 58$	

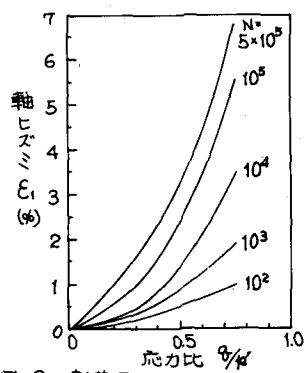


図-3 載荷回数に対する軸ヒズミ・応力比の関係

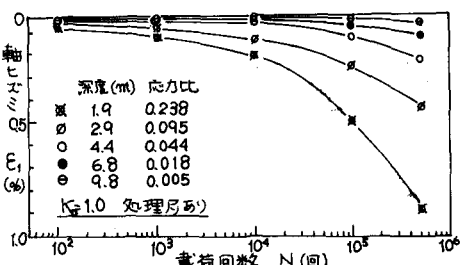


図-4 応力比に対する軸ヒズミ・載荷回数の関係